

трудности определения истинного характера перехода в СС-фазу в реальном случае  $d=3$ ). Для более сложных М. ф. и МФД с поликритич. точками критич. индексов перенормируются и происходит явление к р о с с о в е р а, т. е. изменение критич. индексов при переходе из изоморфной критич. области в неизоморфную по к.-л. набору параметров.

Лит.: 1) Белов К. П., Магнитные превращения, М., 1959; 2) Вонсовский С. В., Магнетизм, М., 1971; 3) Изюмов Ю. А., Кассан-оглы Ф. А., Скриabin Ю. Н., Полевые методы в теории ферромагнетизма, М., 1974; 4) Тяблков С. В., Методы квантовой теории магнетизма, 2 изд., М., 1975; 5) Ориентированные переходы в редкоземельных магнетиках, М., 1979; 6) Завадский Э. А., Валков В. И., Магнитные фазовые переходы, К., 1980; 7) Патапинский А. З., Покровский В. П., Флуктуационная теория фазовых переходов, 2 изд., М., 1982; 8) Нагаев Э. Л., Аномальные магнитные структуры и фазовые переходы в негайзенберговских магнетиках, «УФН», 1982, т. 136, с. 61; 9) Магнетики со сложными обменными взаимодействиями, М., 1988; 9) Камилов И. К., Алиев Х. К., Фазовые переходы второго рода в ферромагнетиках в слабых магнитных полях вблизи точки Нюри, «УФН», 1983, т. 140, с. 639; 10) Хёрд К. М., Многообразие видов магнитного упорядочения в твердых телах, пер. с англ., «УФН», 1984, т. 142, с. 331; 11) Mudson J. A., Newsham G. J., Dilute transition metal alloys: spin glasses, в кн.: Ferromagnetic materials, ed. by E. P. Wohlfarth, v. 1, Amst., 1980, ch. 2; 12) Липкин И. И., Пидильский И. М., Узкоштрулевые полумагнитные полупроводники, «УФН», 1985, т. 146, с. 35; 13) Уайт Р., Квантовая теория магнетизма, пер. с англ., 2 изд., М., 1985; 14) Редкоземельные ионы в магнитоупорядоченных кристаллах, М., 1985; 15) Изюмов Ю. А., Дифракция нейтронов на длинопериодических структурах, М., 1987; см. также лит. при ст. Фазовые переходы. Ю. Г. Рудой.

**МАГНИТОАКУСТИЧЕСКИЙ РЕЗОНАНС** — резкая зависимость коэф. поглощения УЗ  $\alpha$  в металлах, помещённых в постоянное магн. поле  $B$ , от величины поля. М. р. и геометрические осцилляции являются примерами т. н. геометрич. резонансов — эффективного взаимодействия свободных электронов со звуковой волной в условиях, когда на характерном размере орбиты электрона в магн. поле укладывается целое число длин звуковой волны (см. Акустоэлектронное взаимодействие).

М. р. возникает, когда хотя бы часть электронов движется в магн. поле по открытым траекториям ферми-поверхности. Пространств. траектория электрона в этом случае также представляет собой неограниченную периодически повторяющуюся кривую, период к-рой  $L_B$  определяется периодом  $Q_p$  электронной орбиты в пространстве импульсов:  $L_B = cQ_p/eB$ , где  $c$  — скорость света,  $e$  — заряд электрона. Резонанс имеет место, когда пространств. период  $L_B$  кратен длине звуковой волны  $\Lambda$ :  $L_B = n\Lambda$ , где  $n = 1, 2, \dots$  — целое число. Поскольку условие геометрич. резонанса выполняется сразу для всех электронов, движущихся по открытым орбитам, то акустич. поглощение резко возрастает для значений магн. поля  $B_n = cQ_p/e\Lambda n$  ( $n = 1, 2, \dots$ ). Этим М. р. отличается от геометрич. осцилляций, для к-рых максимумы поглощения уширены, и амплитуды осцилляций невелики. Величина М. р. максимальна, когда направление распространения волн, вектор магн. поля и направление открытой траектории (в пространстве импульсов) взаимно ортогональны. Наличие открытых траекторий определяет также значит. анизотропию акустич. поглощения в металлах в постоянном магн. поле.

М. р. наблюдается во многих металлах (кадмий, таллий и т. п.); их наблюдение является эффективным методом исследования топологии ферми-поверхностей металлов.

Лит.: Канер Э. А., Песчанский В. Г., Пригородный И. А., К теории магнитоакустического резонанса в металлах, «ЖЭТФ», 1961, т. 40, в. 1, с. 214.

Б. М. Левин, Л. А. Черноватонский.

**МАГНИТОГИДРОДИНАМИЧЕСКИЕ НЕУСТОЙЧИВОСТИ** — макроскопич. неустойчивости пространственно неоднородной плазмы в магн. поле, вызываемые либо градиентом давления при неблагоприятной кривизне магн. силовых линий, либо током, текущим вдоль силовых линий. Эти неустойчивости приводят к быстрому разрушению исходной конфигурации

плазмы. Примерами М. н. являются желобковая неустойчивость, обусловленная искривлением магн. силовых линий и характерная для замкнутых магн. конфигураций, и тиринг-неустойчивость, при к-рой происходит разрыв магн. силовых линий. Подробнее см. Неустойчивости плазмы.

**МАГНИТОГИДРОДИНАМИЧЕСКИЙ ГЕНЕРАТОР** (МГД-генератор) — устройство, в к-ром за счёт явления электромагнитной индукции в канале с наложенным магн. полем внутр., тепловая или (и) кинетич. и потенциальная энергия потока электро проводящей среды преобразуются в электрич. энергию. Рабочим телом М. г. могут быть низкотемпературная плазма или проводящая жидкость (жидкие металлы, электролиты). Низкотемпературная плазма в М. г. представляет собой продукты горения природных или спец. топлив с легкоионизуемыми добавками соединений щелочных металлов или инертные газы также со щелочными добавками в равновесном или термически неравновесном состояниях. Используются М. г. в т. ч. установках прямого преобразования энергии. Идея МГД-преобразования энергии была высказана М. Фарадеем (M. Faraday) ещё в 1831, а осн. принципы устройства сопр. М. г. сформулированы в 1907—22,

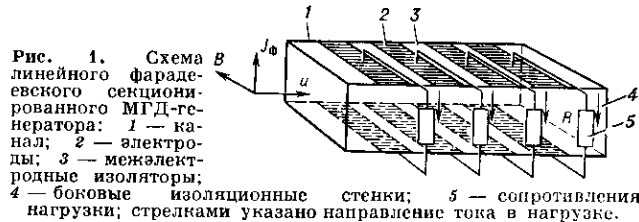


Рис. 1. Схема линейного фарадеевского секционированного МГД-генератора: 1 — канал; 2 — электроды; 3 — межэлектродные изоляторы; 4 — боковые изоляционные стенки; 5 — сопротивления нагрузки; стрелками указано направление тока в нагрузке.

однако их практич. реализация оказалась возможной только в конце 50-х гг. в связи с развитием гл. обр. магн. гидродинамики, физики плазмы и аэрокосмич. техники.

**Устройство и принцип действия.** М. г. состоит (рис. 1—3) из канала, в к-ром формируется поток, индуктора, создающего стационарное или переменное (бегущее) магн. поле, системы стёма энергии с помощью электродов (кондукционные М. г.) или индуктивной связи потока с цепью нагрузки (индуктивные М. г.).

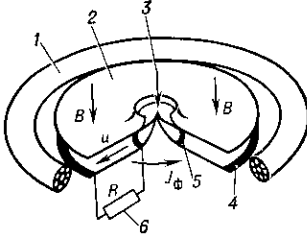


Рис. 2. Схема дискового колловского МГД-генератора: 1 — обмотка индуктора; 2 — канал генератора; 3 — подводящее тело; 4 — выходной колловский электрод; 5 — входной колловский электрод; 6 — нагрузка.

**ионные** М. г.). Каналы могут иметь разл. конфигурацию: быть линейными, дисковыми (с радиальным течением рабочего тела, вихревым), коаксиальными (в т. ч. с винтовым потоком) и др. Оптимальной в каждом конкретном случае является конфигурация, в к-рой вектор скорости потока перпендикулярен силовым линиям магн. поля для заданного типа магн. системы. Используемые в М. г. магн. системы выполняются либо на основе традиц. технологий со стальным магнитопроводом (для М. г. небольшого масштаба), либо безжелезными со сверхпроводящими обмотками.

Эдс и ток, генерируемые в МГД-потоке при использовании любого проводящего рабочего тела, направленные нормально к вектору скорости  $u$  и магн. индукции  $B$ , наз. фарадеевскими. Если рабочим телом М. г. является достаточно разреженная плазма, в